

(78) 岩石の浸透流における放射性核種の吸着・拡散について

埼玉大学 工学部

正会員 佐藤 邦明

三菱金属(株) 中央研究所

○ 正会員 佐久木 康夫

1.はじめに

放射性廃棄物の処理・処分の分野において色々な方法が検討されており、中・高レベル廃棄物を対象とした地下水吸収の場合を考えた場合、岩盤の工学的バリアとしての能力や汚染の問題は安全性評価の面から重要視されてくる。この時、しばしば浸透流を伴う物質の移行現象が関与し、流れによる岩盤中の物質の動きを把握する事が必要となる。この点を踏まえ著者らは浸透流を伴う場合の挙動を把握するための実験方法の確立ヒテータ基積と目的として放射性核種を用いた浸透実験を行つてある。今回は等方均質と考えられる2種の岩を選び定量法を実施してある状況について報告する。

2. 実験装置と試料

実験は図-1の概略図に示すように浸透実験と実験中に定期的に採取された溶液の濃度測定の工程に大別される。浸透実験は透水試験と同様に行なわれるが一般的であるが準定常透水試験と異なる点は実験に要する時間が極めて長期に及ぶため、自ブリオ等により時間経過とともに浸透流量の減少する場合が見られるので今回の実験では、マイクロチューブ式の微量ポンプを用い浸透流量が一定になるように試みた。試料は群馬県産の花崗岩と福島県産の凝灰岩(白羽凝灰岩)で600℃に加熱後水中急速されたもので、表-1に示すように空隙率は花崗岩が2.03%、凝灰岩は25.1%である。また、試料のX線回折の結果、花崗岩は石英、カリ長石、斜長石が主成分をなし、他にノライトが含まれる。凝灰岩の場合は斜長石とカリ長石が主成分をなし、ノライトと石英が解石が含まれており加熱処理のためか粘土鉱物は認められまい。使用した放射性核種は⁶⁰Ce, ⁸⁵Sr, ¹³⁷Csの3種でいずれも塩化物の形で、各々 $1.0 \times 10^{-2} \mu\text{Ci}/\text{ml}$, $1.5 \times 10^{-2} \mu\text{Ci}/\text{ml}$, $1.0 \times 10^{-2} \mu\text{Ci}/\text{ml}$ の濃度になるよう純水で希釈して浸透溶液とした。濃度測定は尿素液、希釈用純水(ハックグランド), 採取溶液のリザーバーと自然乾燥後、試料自動交換機を利用した自動測定システムにより2時間毎に測定した。これらの実験では取扱溶液が放射性核種を含み、非密閉状態であるので汚染防止を含めた数々の制約があり慎重に行なわなければならぬ。写真-1, -2に浸透実験装置と濃度測定装置の各部を示した。

3. 実験結果と検討

試料中の放射性核種の動きを定量的に把握するため、分配係

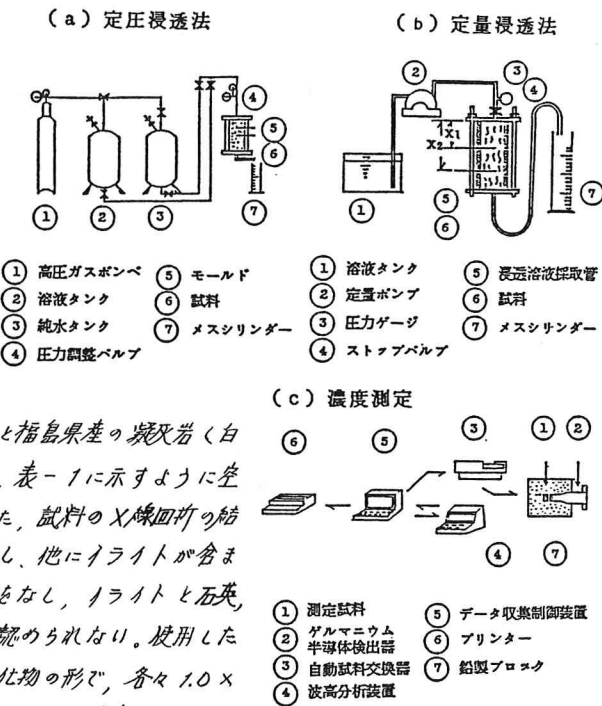


図-1 実験装置概略

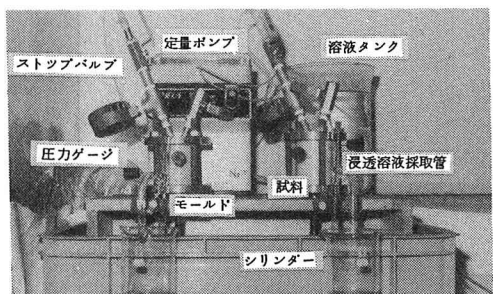


写真-1 浸透実験装置各部

数と浸透係数および分散係数(分子拡散や移流による核種の移動現象等を含めたもの)を求めて見る。また、実験では既定として、1) 使用した溶液の濃度範囲では吸脱着などの現象は濃度に依存しない。2) 放射性核種は相互に化学反応を起したり溶液などの新たな物質を生成しない。3) 放射性核種と岩の間では吸脱着現象のみで他の化学反応などにより新たな物質は生成しない。4) 浸透は一方的に均一に起きるので、等を考えてよい。今回の実験では核種の試料中の移動方程式は(1)式で表され、核種の岩への吸脱着反応を表現する形として(2)式を考え、水に対する溶液の移行速度の遅れ程度を表す浸透係数(滞留因子とも呼ばれる)を(3)式で表わすと(1)式は(4)式のようになる。

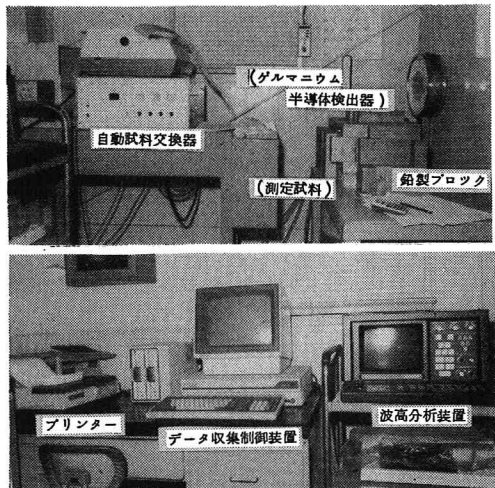


写真-2 濃度測定装置各部

$$R_f \cdot \frac{\partial C}{\partial t} = D_x \cdot \frac{\partial^2 C}{\partial x^2} - U \cdot \frac{\partial C}{\partial x} \quad (1)$$

$$\gamma = K_d \cdot C \quad (2)$$

$$R_f = \left(1 + \frac{1-f}{f} \cdot P \cdot K_d\right) \quad (3)$$

$$\frac{\partial C}{\partial t} = D_x \cdot \frac{\partial^2 C}{\partial x^2} - \frac{U}{R_f} \cdot \frac{\partial C}{\partial x} \quad (4)$$

ここに、 γ : 吸脱着量、 C : 溶液中の溶質濃度、 f : 試料生産率、 P : 濃度、 K_d : 分配係数、 R_f : 浸透係数、 D_x : 水の浸透方向分散係数、 U : 水の平均浸透流速である。 D_x 、 U 、 R_f が実験期間一定と考えると(4)式の D_x/R_f 、 U/R_f は一定値となり改めて D 、 U と置き換えると(1)式は吸脱着のない場合と同形になる。この式の解は(5)式のとく(6)式になり、実験結果から R_f や D を決定するには(6)式の C_0 、 C 、 x 、 t 、 U に各々の値を与え D を変えて理論破過曲線を描き、実験から得られた結果に比 best fittingさせ求められる。

$$\begin{cases} C(0, t) = C_0 & t \geq 0 \\ C(\infty, t) = 0 & t \geq 0 \\ C(x, 0) = 0 & x > 0 \end{cases} \quad (5)$$

$$\frac{C}{C_0} = \frac{1}{2} \operatorname{erfc} \left\{ \frac{x - Ut}{2(Dt)^{1/2}} \right\}$$

$$+ \frac{1}{2} \exp \left(\frac{U}{D} \right) \cdot \operatorname{erfc} \left\{ \frac{x + Ut}{2(Dt)^{1/2}} \right\} \quad (6)$$

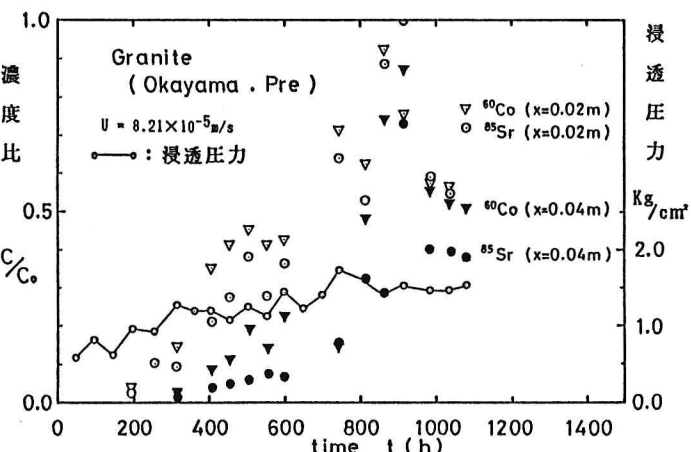


図-2 花崗岩(岡山県産)の実験結果(1080時間目まで)

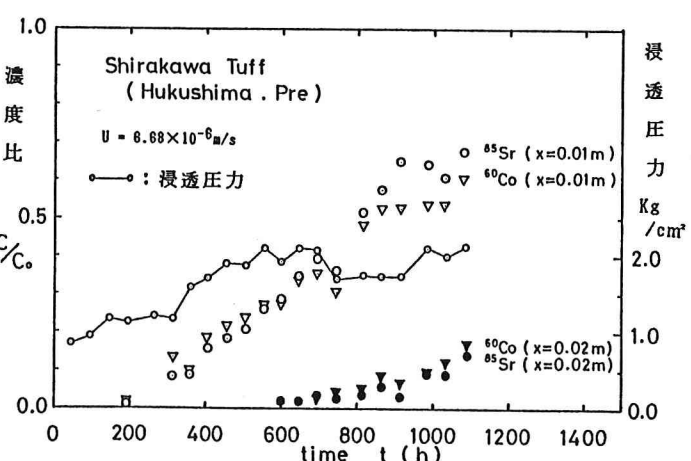


図-3 嵌灰岩(福島県産)の実験結果(1080時間目まで)

図-2, 図-3に花崗岩、凝灰岩の1080時間目までの状況と図-4には定圧法による福島花崗岩の結果を参考に示した。図-2の花崗岩では ^{60}Co , ^{85}Sr とともに同時に検出されはじめ $X = 0.02\text{m}$ の場合約200時間、 $X = 0.04\text{m}$ の場合約320時間である。 ^{137}Cs は1080時間経過後も検出されていない。

11. 濃度比の増減は ^{60}Co , ^{85}Sr とともに同じパターンを示し、増減を繰り返しながら増加して0.5を超えるあたりから増減の割合が大きくなり、その振幅は0.5近くになくなっている。図-3の凝灰岩の場合と花崗岩同様 ^{60}Co , ^{85}Sr とともに同時に $X = 0.01\text{m}$ で検出され200時間後、 $X = 0.02\text{m}$ で1080時間後には検出されはじめ、 ^{137}Cs は検出されていない。検出後濃度比が0.3付近まで ^{60}Co の方が幾分大きく、それ以降は逆に ^{85}Sr の方が大きくなっている。この現象は $X = 0.02\text{m}$ の場合では濃度比が小さいためかまだ見られない。図-4の定圧法による結果と対比すると定量法の圧力変化は定圧法における浸透流量の変化に対応し、浸透圧は変化し時間経過とともに増加している。増加の過程はかなり緩慢ではなく増減を繰り返しながら増加し、最後にポンプの上限吐出圧力に達している。濃度比の増減様子は花崗岩どうしあべると定圧法の増減の振幅は小さく、定量法のそれは極めて大きくなっている。凝灰岩の場合には定量法でもそれほど大きくなり、この濃度比の増減は試料中に生じる目つまりにより浸透路が減少するにとかかわらず、定量法では強制的に一定流量の溶液を浸透させよう

とするため浸透路中の微小土粒子が洗い流され、それに吸着してから核種を剥離されるためと推定される。この目つまりと洗い出しの現象が周期的に起っていると考えられる。また、凝灰岩において花崗岩程顕著ではないのは空隙率が大きいことと空隙形状の違いのためではないかと思われる。

次に、実験結果に理論曲線を best fitting させた結果について述べると、図-1, 図-6の花崗岩、凝灰岩の場合が示すように、 X_1 の測定結果のみに best fitting させ R_f , K_d , D を求めた。その結果図-6の凝灰岩につけられたは比較的良く合致しているが、図-5の花崗岩の場合には濃度比の増減が著しくため合致精度は劣っている。図

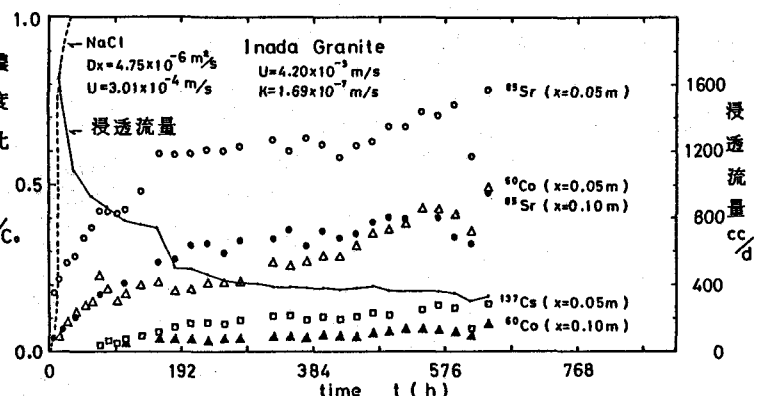


図-4 定圧法による茨城県産花崗岩の実験結果(648時間目まで)

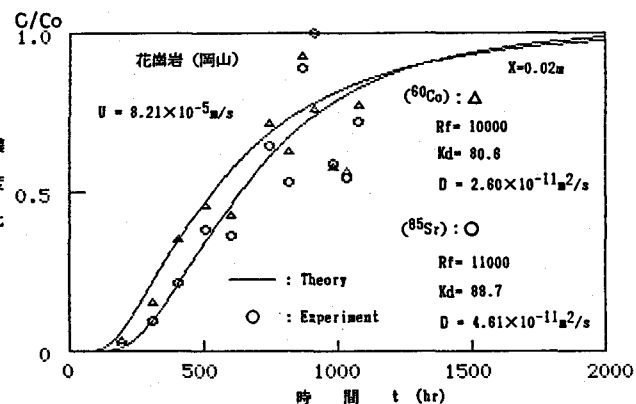


図-5 花崗岩(岡山県産)の解析結果

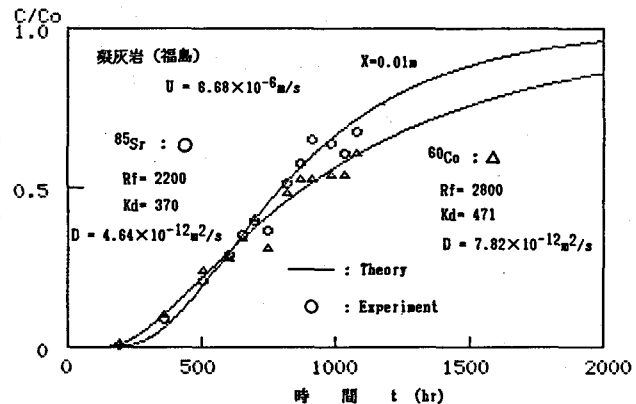


図-6 凝灰岩(福島県産)の解析結果

-5の花崗岩は平均浸透流速 U が $8.21 \times 10^{-5} \text{ m/s}$ で、 ^{60}Co の場合 R_f は10000, Kd は80.6, D は $2.86 \times 10^{-11} \text{ m}^2/\text{s}$, ^{85}Sr の場合 R_f は11000, Kd は88.7, D は $4.61 \times 10^{-11} \text{ m}^2/\text{s}$ が得られ、試料中の動きは ^{60}Co の方が幾分早く、 ^{85}Sr の方が載荷時間が遅くに対応して大きくなっている。图-6の凝灰岩の平均浸透流速 U が $6.68 \times 10^{-6} \text{ m/s}$ で、 ^{60}Co の場合 R_f は2800, Kd は471, D は $7.28 \times 10^{-12} \text{ m}^2/\text{s}$, ^{85}Sr の場合 R_f は2200, Kd は370, D は $4.64 \times 10^{-12} \text{ m}^2/\text{s}$ が得られ、 ^{85}Sr の方が試料中の動きは早く、それに対応して分散係数は小さくなっている。花崗岩どうしあると観察すると両方とも途中まである事や試験方法の違い、測定値のバラツキなどのため簡単に比較できないが、定圧法の稻田花崗岩の分散係数の方が2桁程度大きくなっている。

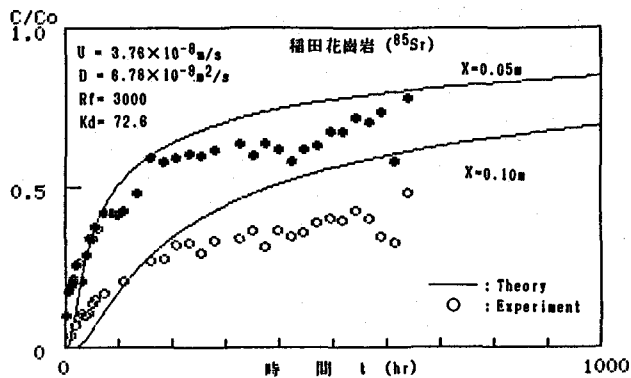


図-7 定圧法による花崗岩(茨城県産)の解析結果

表-1 試料岩石名と試験結果

実験 方法	試 料 岩 石 名	温 潤 密 度 ($\times 10^3 \text{ kg/m}^3$)	空 隙 率 (%)	サンプリング位置 (m)	分 配 係 数 K_d			分 散 係 数 D (m^2/s)		
					^{60}Co	^{85}Sr	^{137}Cs	^{60}Co	^{85}Sr	^{137}Cs
定圧 浸透 法	花崗岩 (岡山県産)	2.59 (2.61)	2.03 (0.920)	X=0.02	80.6	88.7	—	2.00×10^{-11}	4.61×10^{-11}	—
				X=0.04	—	—	—	—	—	—
I) 定 圧 浸 透 法	凝灰岩 (白河凝灰岩)	2.24 (2.28)	25.1 (21.0)	X=0.01	471	370	—	7.82×10^{-12}	4.64×10^{-12}	—
				X=0.02	—	—	—	—	—	—
II) 定 圧 浸 透 法	花崗岩 (稻田花崗岩)	2.57 (2.65)	6.10 (0.810)	X=0.05	89.8	72.8	—	1×10^{-9}	6.78×10^{-8}	4.65×10^{-10}
				X=0.10	89.8	72.8	—	1×10^{-9}	6.78×10^{-8}	—
	安山岩 (新小笠安山岩)	2.45 (2.45)	15.5 (8.03)	X=0.025	100	351	—	4.78×10^{-12}	1.20×10^{-11}	—
				X=0.05	—	—	—	—	—	—

使用 試 料	^{60}Co		^{85}Sr		^{137}Cs	
	濃 度 $\mu\text{Ci}/\text{m}^2$	半 減 期	濃 度 $\mu\text{Ci}/\text{m}^2$	半 減 期	濃 度 $\mu\text{Ci}/\text{m}^2$	半 減 期
	1.0 $\times 10^{-2}$	5.2 年	1.5 $\times 10^{-2}$	65 日	1.0 $\times 10^{-2}$	30 年

1) 実験結果は1080時間目までの値である。

2) 参考文献2による。

3) 密度、空隙率欄のカッコ内の値は強熱風化前の値である。

4.まとめ
放射性廃棄物中の
・高レベル深層地盤
・処理＝焦点を試験岩
における放射性核種の
動きを把握するため、適切な試験方法を確立することとデータ蓄積を目的として定圧法による浸透実験を試みている。現在(1080時間)まで認められた結果は、花崗岩、凝灰岩とも ^{60}Co 、 ^{85}Sr の2核種はほぼ同じ動きを示し、花崗岩では分散係数が ^{60}Co の場合 $2.60 \times 10^{-11} \text{ m}^2/\text{s}$, ^{85}Sr の場合 $4.61 \times 10^{-11} \text{ m}^2/\text{s}$, 凝灰岩では ^{60}Co は $7.82 \times 10^{-12} \text{ m}^2/\text{s}$, ^{85}Sr の場合 $4.64 \times 10^{-12} \text{ m}^2/\text{s}$ などである。また、定圧法で水程顕著になかった濃度比の時間経過に従う大きくなる現象は、試料中の浸透流路の目つまりを薬剤的に洗い出すことにより生じるためと推定され、特に花崗岩の場合に顕著である。このような現象は定圧法のひとつ持質と考えられ、浸透実験のむずかしさが浮上にされた。

現在の実験を最後まで行い、定圧法における持質を把握し、今後も続けるデータ蓄積と試験方法の確立のための実験に役立てたいと考える。

参考文献

- 福井正美：飽和土壤水中における放射性核種の非線形吸着モデルに関する研究, 保健物理, 16, 1981.
- 佐藤邦明, 佐々木康夫: 岩における放射性核種溶波の分散に関する実験的研究, 40回年講, 第2部P181~182.

(78) On the diffusion and absorption of radioactive
isotopes in rock seepage

by Kuniaki Sato.

Yasuo Sasaki.

Faculty of Engineering,
Saitama University

Mitsubishi Metal
Corporation

Abstract

When we deal with the transfer problem of dissolved pollutant in rocks, the determination of dispersion coefficient becomes important as well as the evaluation of hydraulic parameters.

This paper presents how to measure the diffusion and absorption of radioactive isotopes solutes: ^{60}Co , ^{85}Sr , ^{137}Cs , in addition to clarify the dispersion mechanism of radio-active solute in rock speege flow.

An experimental apparatus for testing rock seepage by a constant discharge method is newly proposed to study the dispersion and adosorption phenomena in rock seepage flow, and the utility of the apparatus propesed in this paper is confirmed. Some different properties of radioactive solute dispersion are revealed as compared with those of salt water dispersion in rocks.